

## Pb-free PTC에 있어서 $(\text{Bi}_{0.5}\text{K}_{0.5})\text{TiO}_3$ 첨가에 따른 $\text{Ba}_{1-x}(\text{Bi}_{0.5}\text{K}_{0.5})\text{TiO}_3$ 의 전기적 특성

이미재, 최병현, 백종후, 김빛남, 이우영\*

요업기술원, (주)하이엘\*

### Electrical Properties of $\text{Ba}_{1-x}(\text{Bi}_{0.5}\text{K}_{0.5})\text{TiO}_3$ according to $(\text{Bi}_{0.5}\text{K}_{0.5})\text{TiO}_3$ for Pb-free PTC

Mi-Jai, Lee, Byung-Hyun, Choi, Jong-Hoo Paik, Bip-Nam Kim and Woo-yong Lee\*  
KICET, HIEL\*

**Abstract :** PTC thermistor are characterized by an increase in the electrical resistance with temperature. The PTC materials of middle Curie point were produced or that of high Curie point (above 200°C), it was determined that compositional modifications of  $\text{Pb}^{2+}$  for  $\text{Ba}^{2+}$  produce change in the Curie point to higher temperature. PTC ceramic materials with the Curie point above 120°C were prepared by adding  $\text{PbTiO}_3$ ,  $\text{PbO}$  or  $\text{Pb}_2\text{O}_4$  into  $\text{BaTiO}_3$ . Thereby, adding  $\text{Pb}^{2+}$  into  $\text{BaTiO}_3$ -based PTC material to improve  $T_c$  was studied broadly, however, weal know that  $\text{PbO}$  was poisonous and prone to volatilize, then to pollute the circumstance and hurt to people, so we should dope other innocuous additives instead of lead to increase  $T_c$  of composite PTC material.

In order to prepare lead-free  $\text{BaTiO}_3$ -based PTC with middle Curie point, the incorporation of  $\text{Bi}_{1/2}\text{K}_{1/2}\text{TiO}_3$  into  $\text{BaTiO}_3$ -based ceramics was investigated on samples containing 0, 1, 2, 3, 4, and 50mol% of  $\text{Bi}_{1/2}\text{K}_{1/2}\text{TiO}_3$ .  $\text{Bi}_{1/2}\text{Na}_{1/2}\text{TiO}_3$  was compounded as standby material by conventional solid-state reaction technique. The starting materials were  $\text{Bi}_2\text{O}_3$ ,  $\text{K}_2\text{CO}_3$ ,  $\text{BaCO}_3$  and  $\text{TiO}_2$  powder, and using solid-state reaction method, too. The microstructures of samples were investigated by SEM, DSC, XRD and dielectric properties. Phase composition and lattice parameters were investigated by X-ray diffraction.

**Key Words :** PTC, Pb-free, Heater,  $\text{BiKTiO}_3$

### 1. 서 론

현재 RoHS에서는 전자세라믹스에 포함되어 있는  $\text{Pb}$ , 형광등과 냉동극관에 포함되는  $\text{Hg}$  등에 대해서는 예외규정을 두고 있으나, 중금속 함유제품에 대한 규제의 추세는 향후 전 세계적으로 첨단기술 집약적인 부품소재로 확대되어 갈 것이 확실시되어 대응책 마련이 시급한 실정이다. 이중 PTC (Positive Temperature Coefficient) 써미스터는 일정한 전류가 흐르면 저항값이 상승하는 정온도계수 특성을 가지고 있는 저항체로, 과전류보호, 과열보호, 정온 발열히터 및 온도센서 등으로 응용되어 사용되고 있다. 특히 히터용 제품 ( $T_c$  120°C)으로 드라이어, 난방용, 미용 기구 등에 사용되고 있는데, 히터로 사용되는 PTC의 경우 고온 사용을 위해  $T_c$ 를 고온으로 이동시키야 하며, 이렇게  $T_c$ 를 고온으로 이동시키는 물질로는  $\text{Pb}$ 가 사용되어진다. PTC는 주조성인 perovskite 구조를 갖는  $\text{BaTiO}_3$ 에 소량의 희토류 원소를 첨가하여 전도성을 나타내며, Ba site의 일부를 Sr 또는 Pb 등으로 치환하여 임계온도 (Critical Temperature,  $T_c$ )의 이동이 가능한 n형 반도체이다.

현재 PTC에 적용되는  $\text{Pb}$ 는 RoHS에서 규제 예외 조항

으로 되어 있으나, 향후 PTC에 적용되는  $\text{Pb}$ 에 대한 대체 물질의 개발이 요구되어지고 있다.

따라서 본 연구에서는  $\text{Pb}$ 를 대체할 수 있는 물질로  $(\text{Bi}_{1/2}\text{K}_{1/2})\text{TiO}_3$ 를 선정하여  $\text{BaTiO}_3$ 에 0~50mol.%까지 첨가하여 생성된 물질인  $(\text{Bi}_{1/2}\text{K}_{1/2})_x\text{TiO}_3$  조성의 결정상,  $T_c$  변화 등을 살펴보아  $\text{Pb}$  대체 가능성을 살펴보고자 하였다.

### 2. 실험

#### 2.1 실험

$\text{Ba}_{1-x}(\text{Bi}_{1/2}\text{K}_{1/2})_x\text{TiO}_3$  제조를 위한 공정도를 그림 1에 나타내었다. 출발물질로,  $\text{BaCO}_3$ ,  $\text{TiO}_2$ ,  $\text{Bi}_2\text{O}_3$ ,  $\text{K}_2\text{CO}_3$ 를 선정하여, 24시간동안 에탄올과 함께 볼밀하여 혼합한 후 80°C에서 20시간동안 건조하였다. 건조한 분말은 950~1100°C 까지 각각 2시간 동안 하소하여, XRD 및 DT-TGA를 행하여 하소온도에 따른 결정상과 온도에 따른 결정상을 확인하였다.

하소한 분말은 0.8kg/cm<sup>3</sup>의 하중으로 성형하여 1300°C에서 2시간 동안 소결하여, TMA 및 DSC를 측정하여  $T_c$ 의 변화를 관찰하였다. 또한, PTCR 특성을 확인하기 위해 일정량의 dopant를 첨가하여 특성을 평가하였다.

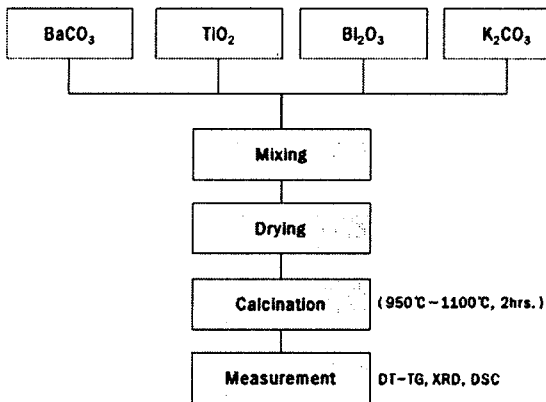


그림 1. 제조 공정도

### 3. 결과 및 고찰

그림 1의 제조공정에 의해 합성한  $[Ba_{1-x}(Bi_{0.5}K_{0.5})_x]TiO_3$ 의 조성표를 표 1에 나타내었다.  $(Bi_{0.5}K_{0.5})TiO_3$ 의 첨가량을 0~0.05까지 0.005mole 씩 첨가량을 증가시키면서 실험을 진행하였다.

표 1.  $(Bi_{0.5}K_{0.5})TiO_3$ 의 첨가량

No	x	Bi	Na	Ba	Ti	(mole)
BBKT-1	0.000	0	0	1	1	
BBKT-2	0.005	0.0025	0.0025	0.995	1	
BBKT-3	0.010	0.005	0.005	0.990	1	
BBKT-4	0.015	0.0075	0.0075	0.985	1	
BBKT-5	0.020	0.01	0.01	0.980	1	
BBKT-6	0.025	0.0125	0.0125	0.975	1	
BBKT-7	0.030	0.015	0.015	0.970	1	
BBKT-8	0.035	0.0175	0.0175	0.965	1	
BBKT-9	0.040	0.02	0.02	0.960	1	
BBKT-10	0.045	0.0225	0.0225	0.955	1	
BBKT-11	0.050	0.025	0.025	0.950	1	

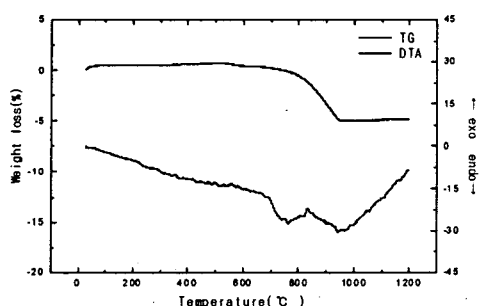


그림 2. 합성한  $[Ba_{0.95}(Bi_{0.5}K_{0.5})_{0.05}]TiO_3$ 의 열분석결과

그림 1의 제조공정에 의해 합성한  $[Ba_{1-x}(Bi_{0.5}K_{0.5})_x]TiO_3$ 의 열분석결과를 그림 2에 나타내었다. 그림에서 살펴보면 무게감량은 전체적으로 약 7% 정도였고, 850°C 정도에서 단일상을 형성하는 peak가 나타나고 있는 것을 확인할 수 있었다.

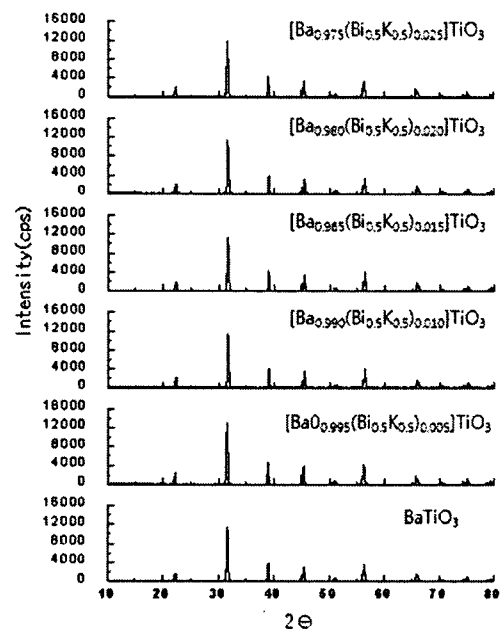


그림 3.  $[Ba_{1-x}(Bi_{0.5}K_{0.5})_x]TiO_3$ 의 x 함량에 따른 결정상 변화

그림 3은  $[Ba_{1-x}(Bi_{0.5}K_{0.5})_x]TiO_3$ 의 x 함량에 따른 결정상을 나타내었다. 그림에서 살펴보면  $(Bi_{0.5}K_{0.5})TiO_3$  첨가량을 증가시켜 tetragonal 단일상 만이 나타나고 있는 것을 볼 수 있다.

### 4. 결론

1. 1000°C에서 2시간 하소하였을 때 단일상인  $[Ba_{1-x}(Bi_{0.5}K_{0.5})_x]TiO_3$ 를 얻었으며,
2. X의 첨가량을 0~0.5 mole의 범위에서 결정구조를 관찰한 결과, 전체 범위에서 tetragonal structure를 나타내었다.
3. BKT를 첨가하였을 때 Tc가 증가됨을 관찰할 수 있었다.

### 참고 문헌

- [1] J. Shieh, K. C. Wu and C. S. Chen, "Switching characteristics of MPB compositions of  $(Bi_xNa\frac{1}{2})TiO_3$ - $BaTiO_3$ - $(Bi_{\frac{1}{2}}Na\frac{1}{2})TiO_3$  Lead-Free Ferroelectric Ceramics", Acta Materialia, 55, 3081-3087, 2007
- [2] T. Takenaka and H. Nagata, "Current status and prospects of lead-free piezoelectric ceramics", J. Euro. Ceram. Soc., 25, 2693-2700, 2005